

## اندرکنش سد و مخزن در قلمرو زمان\*

ساناز محمودپور<sup>(۱)</sup>رضا عطارنژاد<sup>(۲)</sup>

**چکیده** در این مقاله تحلیل دقیق پویایی اندرکنش سد و مخزن در قلمرو زمان انجام می‌شود. ضخامت بانه سد، متغیر و سازه سد، انعطاف‌پذیر و مخزن تا بینهایت ادامه دارد. شرایط مرزی تشعشعی در مخزن و تغییر شکل بانه سد به دقت در رابطه‌سازی گنجانده شده‌اند تا همه بعدهای پذیریکی اندرکنش سد و مخزن را دربرگیرند. فشار هیاروپویای در پشت سد از معادله فشار موج پیروی می‌کند. الگوسازی سازه سد به صورت اویلر-برنولی و با فرض قائم بودن بانه در بالادست انجام پذیرد. روش نوینی برای تحلیل تیر با مقطع متغیر ارایه می‌شود. این روش نوین بر مبنای کاربرد تابع‌های نوینی است که تابع‌های شکل مبنا (BDFs) نام دارند. این تابع‌ها از حل معادله دینفرانسیل حرکت تیر اویلر-برنولی با مقطع متغیر به دست می‌آیند و با کمک آن‌ها تابع‌های شکل پویایی نوینی حاصل می‌شوند که در تحلیل تیرهای با مقطع متغیر به کار می‌روند. پاسخ پویایی سد و مخزن در برابر زلزله‌ال مستمر و بررسی و تغییر مکان سد در حالت مخزن پر و خالی محاسبه شده است. مقایسه نتیجه‌های حاصل با نتیجه‌های موجود در نوشهای فنی، نشان‌دهنده شایستگی و دقت روش ارایه شده است.

**واژه‌های کلیدی** اندرکنش سد و مخزن، تحلیل در قلمرو زمان، ضخامت متغیر، تابع‌های شکل مبنا (BDFs)

## Dam Reservoir Interaction in Time Domain

S. Mahmoudpour

R. Attarnejad

**Abstract** In the paper a dynamic exact solution in the time domain for dynamic analysis dam-reservoir interaction is presented. The dam structure is flexible with infinite reservoir. Exact consideration of the radiation boundary condition of the infinite reservoir and deformation of dam structure are included in the formulation which explicitly expresses the physical phenomena of fluid-structure system. The hydrodynamic pressure in the fluid domain of the structure-reservoir system is assumed to be governed by the pressure wave equation. The upstream face of the dam is considered vertical. The dam structure is modeled as a cantilever Euler-Bernoulli beam. The thickness of the dam is assumed to be variable. A new method for analysis of non-prismatic beams is presented. This new method is based on using new functions namely Basic Displacement Functions (BDFs). These functions are obtained by solving the governing equation of motion of a non-prismatic Euler-Bernoulli beam. Using this method dynamic shape functions are efficiently obtained for non-prismatic beams. Interactive behavior of the dam-reservoir system with different geometrical properties is demonstrated by numerical examples when the system is subjected to ramp acceleration and El Centro earthquake ground motions. The results are compared with those of literature and the competency of the method is shown in both economy and exactness.

**Key Words** Dam-Reservoir Interaction, Time Domain Analysis, Variable Section, Basic Displacement Functions (BDFs)

\*نسخه اول مقاله در تاریخ ۸۹/۱۱/۱۰ و نسخه‌ی نهایی آن در تاریخ ۸۹/۱۱/۱۰ به دفتر نشریه رسیده است.

(۱) نویسنده‌ی مسؤول، دانش آموخته کارشناسی ارشد، دانشکده عمران، دانشگاه تهران

(۲) عضو هیئت علمی، دانشکده مهندسی عمران، دانشگاه تهران

[8]. Kacin Yerli در سال ۲۰۰۳ برای تحلیل دو بعدی اندرکنش سد-مخزن، روشی بر مبنای جزءی محدود و نامحدود پایه نهادند [9]. در سال ۲۰۰۴، Kuchukarsalan اندرکنش سد-مخزن-فونداسیون را در قلمرو زمان با روش تقابل دوگانه جزء Dual Reciprocity Boundary (DRBEM) مورد بررسی قرار داد. او از این روش برای الگوسازی مخزن و پی بهره گرفت و الگوی سد را با جزء محدود تشکیل داد [10]. Soares Mansur در سال ۲۰۰۶ اندرکنش خاک-سیال-سازه را با روش جزء مرزی مورد بررسی قرار دادند [11]. در سال ۲۰۰۷ Millan، Young و Prevost اثرگذاری هندسه مخزن را بر پاسخ پویای سامانه خاک-سیال-سازه در قلمرو بسامد مطالعه کردند و روش المان مرزی را در تحلیل به کار برdenد [12]. در سال ۲۰۰۸ Gerstenberger و Wall با کمک از روش اجزای محدود گسترش یافته (XFEM) به بررسی مسئله اندرکنش سیال-سازه پرداختند [13]. Hung و Wang با روش تفاضل محدود فشار هیدرودینامیک غیر خطی وارد بر سد صلب را تعیین کردند [14]. Hung و Chen این روش را برای تعیین فشار هیدرودینامیک وارد بر سد انعطاف‌پذیر گسترش دادند [15]. Chen با فرض سد صلب و کاربرد روش تفاضل محدود، مقدار فشار هیدرопویای را برای مخزن با شکل دلخواه محاسبه کرد [16].

برای تحلیل اولیه و نیز وارسی نتیجه‌ها از روش‌های ساده شده وابسته به حل بسته استفاده می‌شود. در سال (۱۹۹۰-۱۹۹۱) Tsai و Lee یک روش نیمه تحلیلی برای حل مسئله اندرکنش سد و مخزن در حالت دوبعدی و سه بعدی در قلمرو زمان ارایه کردند. در این روش مرز دوردست در بین نهایت فرض شده و فشار هیدرودینامیک در مخزن از معادله فشار موج پیروی می‌کند. سد به صورت تیر اویلر-برنولی با مقطع ثابت فرض شده و رابطه‌سازی ارایه شده بر این اساس استوار است [17,18]. از تحلیل سازه سد، ویژگی‌های پویای

## مقدمه

برای بررسی پاسخ پویای سد در برابر زلزله بایستی سامانه سد و مخزن را هم‌زمان مورد تحلیل و بررسی قرار داد. این سامانه شامل سازه سد و دریاچه پشت سد می‌باشد. روش‌های گوناگونی برای تحلیل سازه سد و مخزن به کار می‌روند. در این بخش، نخست درباره روش‌هایی که در حل مخزن به کار گرفته شده‌اند، توضیح داده می‌شود و سپس روش نوینی برای تحلیل اندرکنش سد و مخزن معرفی خواهد شد.

توزیع فشار هیدرودینامیک را برای نخستین بار وسترگارد در سال ۱۹۳۳ بر روی سدهای صلب ارایه داد [1]. در سال ۱۹۶۷ Chopra، یک روش تحلیلی برای توزیع فشار هیدرودینامیک روی یک سد صلب با بدنه قائم پیشنهاد کرد [2]. در سال ۱۹۷۸ Chwang با چشم‌پوشی از فشردگی پذیری سیال، رابطه‌سازی فشار هیدرودینامیک برای سدهای صلب با دیواره بالادست مایل با زاویه ثابت را ارایه داد [3]. در سال ۱۹۷۹ Mei در سال ۱۹۸۶ Liu با یک روش دقیق برای حل مسئله اندرکنش سازه و سیال در قلمرو بسامد به دست آورد [4]. در سال ۱۹۸۶ با گسترش رابطه‌سازی Chwang یک روش دقیق برای سدهای صلب و بدنه شبیدار و مخزن مثلثی ارایه کرد [5].

تحلیل اندرکنش سد و مخزن با روش‌های عددی مختلفی انجام می‌پذیرد. روش‌هایی مانند جزءی محدود، جزءی مرزی، جزءی نامحدود و روش تفاضل محدود از جمله روش‌هایی هستند که در تحلیل مسئله اندرکنش مورد توجه قرار گرفته‌اند. Chopra و Fenves در سال ۱۹۸۴ یک برنامه رایانه‌ای بر مبنای روش جزءی محدود برای تحلیل مسئله اندرکنش سد و مخزن ارایه دادند [6]. در سال ۱۹۹۰ Cheng و Niu تحلیل لرزه‌ای سد-مخزن و فونداسیون را با روش جزءی مرزی انجام دادند [7]. در سال ۱۹۹۱ Estroff و Antes با ترکیب روش جزءی محدود و جزءی مرزی یک روش بر اساس گام‌های زمانی برای تحلیل اندرکنش سد-مخزن پیشنهاد کردند

فشار هیدرودینامیک وارد بر بدنه سد و روابط حاکم توضیح کوتاهی داده می‌شود. یادآور می‌شود که این رابطه‌ها و معادله‌ها به شکل کامل در مرجع [18] آمده‌اند و در اینجا معرفی کوتاهی از آن‌ها به نظر خوانندگان می‌رسد. سپس روش جدید برای تحلیل سازه سد، با تعریف تابع‌های شکل مبنا و چگونگی به کارگیری این تابع‌ها، بیان خواهد شد. در پایان نیز تحلیل سازه سد با یک نمونه عددی شرح داده می‌شود و به دنبال آن تحلیل اندرکنش سد و مخزن با نمونه‌های دیگری انجام می‌پذیرد.

### معادله‌های حرکت

با توجه به شکل (۱) معادله حرکت سد در اثر شتاب ناشی از زلزله و فشار هیدرودینامیک مخزن به صورت زیر نوشته می‌شود [18]:

$$\frac{\partial^2}{\partial z^2} \left( EI \frac{\partial^2 u}{\partial z^2} \right) + m \frac{\partial^2 u}{\partial t^2} = -m \ddot{u}_g - P(0, z, t) \quad (1)$$

که در آن:

E: مدول الاستیسیته مصالح بدنه سد

I: ممان اینرسی سطح مقطع حول محور خمین (y)

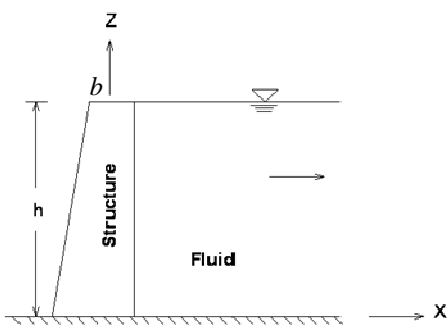
m: جرم در واحد طول سازه

u: تغییر مکان سازه در راستای محور x

$\ddot{u}_g$ : شتاب زمین در امتداد بالادست به پایین دست

P: فشار هیدرودینامیک

می‌باشد.



شکل ۱ سامانه مخزن و سد یا مقطع متغیر

با استفاده از روش جداسازی متغیرها، تغییر مکان

سد، بسامدهای طبیعی و شکل مودهای ارتعاشی، برای کاربرد در حل مسئله اندرکنش به دست می‌آیند. از آن جایی که سازه سد با مقطع ثابت فرض شده است، حل معادله دیفرانسیل حرکت، به سادگی و از روش جداسازی متغیرها صورت می‌پذیرد. در عمل، سدها دارای مقطع‌های متغیر در ارتفاع می‌باشند. به همین دلیل برای موردهای کاربردی، الگوسازی سد باید به شکل تیر با مقطع متغیر انجام پذیرد که در این حالت تحلیل تیر و حل معادله دیفرانسیل حاکم بر حرکت آن نسبت به حالت مقطع ثابت پیچیده‌تر می‌باشد.

فرساد و عطارنژاد در سال ۲۰۰۳ با گسترش روش تساوی [18]، روشی نیمه تحلیلی برای بررسی مسئله اندرکنش در حالتی که ضخامت سد متغیر باشد ارایه دادند [۱۹]. در سال ۲۰۰۶، رحمتی و عطارنژاد به تحلیل اندرکنش سد و مخزن در قلمرو زمان به صورت نیمه تحلیلی با روش تابع اولیه‌گیری حلقوی منفرد مجزا (DSC) پرداختند. سازه سد با یک تیر طره با مقطع ثابت و مخزن به صورت یک محیط همگن غیر چسبنده نیمه بی‌نهایت الگوسازی شد [۲۰].

در مقاله حاضر توزیع فشار هیدرودینامیک و حل معادله موج با توجه به روش ارایه شده در مرجع [18] در نظر گرفته شده است و روش نوینی برای تحلیل سازه سد ارایه خواهد شد. در این رویکرد با درنظر گرفتن سازه سد به صورت تیر با مقطع متغیر الگوسازی انجام می‌شود. روش نوین پیشنهادی برای تحلیل تیرها با مقطع متغیر ارایه بر پایه کاربرد تابع‌های نوینی به نام "تابع‌های شکل مبنای" (Basic Displacement Functions (BDFs)) می‌باشد. این تابع‌ها از حل معادله دیفرانسیل حرکت تیر اویلر - برنولی با مقطع متغیر به دست می‌آیند. با این تابع‌ها ویژگی‌های پویای (بسامدها و مودهای ارتعاشی) تیرها با مقطع متغیر محاسبه می‌شوند. سپس با استفاده از بسامدها و شکل مودهای ارتعاشی محاسباتی و انجام اصلاحات لازم در رابطه‌سازی مرجع [18]، مسئله اندرکنش سد و مخزن در قلمرو زمان بررسی می‌شود.

در ادامه ابتدا به شرح معادله دیفرانسیل حاکم بر حرکت سامانه سد و مخزن پرداخته خواهد شد و درباره

به صورت زیر فرض می‌شود:

شرایط مرزی و اولیه در ناحیه تماسی سازه و سیال  
به این صورت هستند:  
۱. در ناحیه تماسی سازه و سیال:

$$\left. \frac{\partial P}{\partial x} \right|_{x=0} = -\rho \left[ \ddot{u}_g(t) + \ddot{u}(z,t) \right] = -\rho \left[ \ddot{u}_g(t) + \sum_{n=1}^{\infty} \Phi_n(z) \ddot{Y}_n(t) \right] \quad (8)$$

۲. در کف مخزن:

$$\left. \frac{\partial P}{\partial z} \right|_{z=0} = 0 \quad (9)$$

۳. در سطح آزاد مخزن با صرف نظر از اثر موج‌های سطحی:

$$P|_{z=h} = 0 \quad (10)$$

۴. با فرض اینکه مخزن در زمان صفر در حالت آزاد قرار داشته باشد:

$$P|_{t=0} = 0 \quad (11)$$

و

$$\left. \frac{\partial P}{\partial t} \right|_{t=0} = 0 \quad (12)$$

با کمک تبدیل لاپلاس و وارد کردن شرایط مرزی، توزیع فشار هیدرودینامیک از حل معادله (۷) محاسبه شده و می‌تواند به دو بخش حرکت جسم صلب سد و تغییر مکان سد جداسازی شود. بنابراین، رابطه (۱۳) نتیجه خواهد شد:

$$P_n(t) = P_n^r(t) + P_n^f(t) \quad (13)$$

$$P_n^r(t) = \frac{4\rho C}{h} \sum_{k=1}^{\infty} \frac{(-1)^{k+1}}{2k-1} Q_{nk} \int_0^t \ddot{u}_g(\tau) J_0[\lambda_k C(t-\tau)] d\tau \quad (14)$$

$$P_n^f(t) = \frac{2\rho C}{h} \sum_{k=1}^{\infty} \sum_{m=1}^{\infty} Q_{mk} Q_{nk} \int_0^t \ddot{Y}_m(\tau) J_0[\lambda_k C(t-\tau)] d\tau \quad (15)$$

$C$  سرعت موج در آب و  $J_0$  تابع بسل می‌باشد. در رابطه‌های (۱۵) و (۱۶)  $Q_{nk}$  و  $\lambda_k$  به این صورت به دست می‌آیند:

$$u(z,t) = \sum_{n=1}^{\infty} \Phi_n(z) Y_n(t) \quad (2)$$

که  $\Phi$  شکل مود ارتعاش بوده و از حل معادله دیفرانسیل حاکم بر تیر اویلر-برنولی به دست می‌آید و  $Y$  مختصات کلی تابع زمان می‌باشد. لازم به یادآوری است که در این روش از اثر مخزن بر شکل مودها و بسامد سامانه سازه-سیال چشم پوشی می‌شود. معادله (۱) به صورت زیر در می‌آید:

$$M_n \ddot{Y}_n(t) + \omega_n^2 M_n Y_n(t) = -V_n(t) - P_n(t) \quad n=1,2,3,\dots,\infty \quad (3)$$

با حل معادله (۳) و محاسبه  $Y$ ، تغییر مکان کلی از رابطه (۲) محاسبه خواهد شد.

در رابطه (۳) جرم تعمیم‌یافته هست که از رابطه زیر محاسبه می‌شود:

$$M_n = \int_0^h \Phi_n^2(z) m(z) dz \quad (4)$$

نیروهای ناشی از زلزله،  $V_n$  برابرند با:

$$V_n = \ddot{u}_g(t) \int_0^h m(z) \Phi_n(z) dz \quad (5)$$

و نیروی تعمیم‌یافته ناشی از فشار برابر است با:

$$P_n = \int_0^h \Phi_n(z) P(0,z,t) dz \quad (6)$$

$P$  در رابطه (۶) از حل معادله فشار موج به دست می‌آید که در ادامه بیان خواهد شد.

فرض می‌شود فشار هیدرودینامیک در قلمرو سیال از معادله فشار موج پیروی کند:

$$\nabla^2 P(x,z,t) = \frac{1}{C^2} \ddot{P}(x,z,t) \quad (7)$$

که در آن،  $P$  فشار هیدرودینامیک بدون گنجاندن اثر هیدرواستاتیک و  $C$  سرعت صوت در آب می‌باشد. فرض می‌شود که موج‌های آب هنگام پخش شدن از سد

از ارتفاع می باشد که به پیدایش تابع اولیه های پیچیده تر می انجامد. در بخش بعد محاسبه مقدارهای بسامد طبیعی و شکل مودهای ارتعاشی برای تیر با مقطع متغیر شرح داده خواهد شد و سپس سد به صورت تیر با مقطع متغیر الگوسازی و تحلیل می شود. در مقاله حاضر در کنار روش نوینی که برای تحلیل پویای تیر با مقطع متغیر ارایه شده، اصلاحاتی نیز در حل معادله (۱۷) انجام شده است. این اصلاحات بر پایه کاربرد دنباله های توانی و بسط تابع های چندجمله ای برای تابع اولیه گیری تابع های بسل در رابطه (۱۷) هستند. بنا به رابطه (۱۷) تابع اولیه گیری از تابع های بسل ظاهر می شود. در مرجع [۱۸] از تابع های Struve به جای تابع اولیه های تابع بسل استفاده شده است و پاسخ ها با ۳۵ جمله در معادله (۱۷) محاسبه شده اند. در روش اصلاحی پیشنهادی با ۱۰ جمله پاسخ ها با دقت خوبی محاسبه می شود. این اصلاح در روش حل دقت و سرعت را بالا می برد.

**محاسبه شکل مودها و بسامدهای تیر با مقطع متغیر**  
با توجه به اهمیت مقاله روش نوینی برای محاسبه آنها مقطع متغیر، در این مقاله روشنایی برای محاسبه آنها ارایه می شود. به این منظور لازم است تا ابتدا به معرفی تابع های شکل مینا پرداخته شود. تعریف های مربوط به تابع های شکل مینا که پایه و اساس روش پیشنهادی است در جدول (۱) آمده اند.

با توجه به اصل تقابل کارتی - ماسکول، می توان تابع های شکل مینا را مانند جدول (۲) تعریف کرد.  
با توجه به این تعریف ها ماتریس نرمی گرهی با رابطه های (۲۳) و (۲۴) به دست می آید:

$$\mathbf{F}_{11} = \begin{bmatrix} b_{v1}(0) & b_{\theta 1}(0) \\ \left. \frac{db_{v1}}{dx} \right|_{x=0} & \left. \frac{db_{\theta 1}}{dx} \right|_{x=0} \end{bmatrix} \quad (23)$$

$$\mathbf{F}_{22} = \begin{bmatrix} b_{v2}(L) & b_{\theta 2}(L) \\ \left. \frac{db_{v2}}{dx} \right|_{x=L} & \left. \frac{db_{\theta 2}}{dx} \right|_{x=L} \end{bmatrix} \quad (24)$$

$$Q_{nk} = \int_0^h \Phi_n(z) \cos \lambda_k z dz$$

$$\lambda_k = \frac{(2k-1)\pi}{2h} \quad (16)$$

با فرض تغییرات خطی شتاب زمین در دو گام پی در پی زمانی و با فرض شتاب میانگین ثابت برای سازه در پایان معادله (۳) به صورت زیر نوشته می شود:

$$M_n \ddot{Y}_n(t) + \omega_n^2 M_n Y_n(t) = -\ddot{u}_g(t) \int_0^h m(z) \Phi_m(z) dz$$

$$- \frac{4\rho C}{h} \sum_{k=1}^{\infty} \frac{(-1)^{k+1}}{2k-1} Q_{nk} \int_0^t \ddot{u}_g(\tau) J_0[\lambda_k C(t-\tau)] d\tau$$

$$- \frac{2\rho C}{h} \sum_{k=1}^{\infty} \sum_{m=1}^{\infty} Q_{mk} Q_{nk} \int_0^t \ddot{Y}_m(\tau) J_0[\lambda_k C(t-\tau)] d\tau \quad (17)$$

$$\begin{bmatrix} m_{11} & m_{12} & \dots & m_{1M} \\ m_{21} & m_{22} & \dots & m_{2M} \\ \vdots & \vdots & \ddots & \vdots \\ m_{M1} & m_{M2} & \dots & m_{MM} \end{bmatrix} \begin{Bmatrix} \ddot{Y}_1(t) \\ \ddot{Y}_2(t) \\ \vdots \\ \ddot{Y}_M(t) \end{Bmatrix} +$$

$$\begin{bmatrix} K_{11} & & & \\ & K_{22} & & \\ & & \ddots & \\ & & & K_{MM} \end{bmatrix} \begin{Bmatrix} Y_1(t) \\ Y_2(t) \\ \vdots \\ Y_M(t) \end{Bmatrix} = \begin{Bmatrix} L_1(t) \\ L_2(t) \\ \vdots \\ L_M(t) \end{Bmatrix} \quad (18)$$

که در آن:

$$m_{ij} = W_{ij}, i \neq j \quad (19)$$

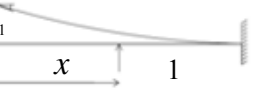
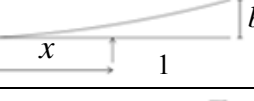
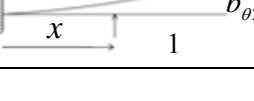
$$m_{ii} = M_i + W_{ii} \quad (20)$$

$$K_{ii} = \omega_i^2 M_{ii} \quad (21)$$

$$L_i(t) = -V_i(t) - P_i^r(t) - F_i(t) \quad (22)$$

همان گونه که ملاحظه می شود، محاسبه مقدارهای بالا بستگی به مقادیر  $\omega$  و  $\Phi$  دارد که در حالت تیر با مقطع ثابت به صورت دقیق در دسترس می باشند. در حالت سد با مقطع متغیر محاسبه مقادیر  $\omega$  و  $\Phi$  پیچیده بوده و حل بسته ای برای آن ارایه نشده است. افزون بر موردهای یادشده در حالت مقطع ثابت جرم نیز دارای مقدار ثابتی است و در روابط (۴) و (۵) به سادگی از تابع اولیه خارج می شود، در صورتی که در تیر با مقطع متغیر، جرم تابعی

جدول ۱ تعریف تابع‌ها شکل مبنا

نام	تعریف	شکل
$b_{v1}$	تغییر مکان قائم گره سمت چپ تیر طره در اثر بار واحدی که در فاصله $x$ اثر می‌کند.	
$b_{\theta 1}$	زاویه چرخش گره سمت چپ تیر طره در اثر بار واحدی که در فاصله $x$ اثر می‌کند.	
$b_{v2}$	تغییر مکان قائم گره سمت راست تیر طره در اثر بار واحدی که در فاصله $x$ اثر می‌کند.	
$b_{\theta 2}$	زاویه چرخش گره سمت چپ تیر طره در اثر بار واحدی که در فاصله $x$ اثر می‌کند.	

در حالت پویا باید معادله دیفرانسیل حاکم بر حرکت، رابطه (۲۹) را حل کرد.

$$\frac{\partial^2}{\partial x^2} \left( EI(x) \cdot \frac{\partial^2 W(x,t)}{\partial x^2} \right) + \rho A(x) \cdot \frac{\partial^2 W(x,t)}{\partial t^2} = Q(x,t) \quad (29)$$

با فرض:

$$Q(x,t) = q(x)(c_1 \sin(\omega t) + c_2 \cos(\omega t)) \quad (30)$$

$$W(x,t) = w(x)(c_1 \sin(\omega t) + c_2 \cos(\omega t)) \quad (31)$$

معادله دیفرانسیل حرکت به شکل زیر نوشته می‌شود:

$$\frac{d^2}{dx^2} \left( EI(x) \cdot \frac{d^2 w(x)}{dx^2} \right) - \omega^2 \cdot \rho A(x) \cdot w(x) = 0 \quad (32)$$

می‌توان روش‌های عددی گوناگون را برای حل این معادله دیفرانسیل به کار برد. پس از محاسبه جزءی بردار  $\mathbf{b}$  و تشکیل ماتریس‌های جرم و سختی سازه می‌توان شکل مودها و بسامدهای تیر با مقطع متغیر را محاسبه کرد. در این مقاله از روش تبدیل دیفرانسیل برای حل معادله حرکت و محاسبه اجزایی بردار  $\mathbf{b}$  استفاده می‌شود. با فرض  $L=x$  و با کمک روش تبدیل دیفرانسیل رابطه (۳۲) به صورت زیر نوشته خواهد شد:

ماتریس سختی گره‌ها نیز به این صورت بیان می‌شود:

$$G = \begin{bmatrix} K_{11} & 0 \\ 0 & K_{22} \end{bmatrix}, \quad K_{ii} = F_{ii}^{-1} \quad (25)$$

با معرفی  $\mathbf{b}$  به صورت:

$$\mathbf{b} = \{b_{v1} \ b_{\theta 1} \ b_{v2} \ b_{\theta 2}\}^T \quad (26)$$

و بهره گرفتن از مفهوم‌های روش اجزای محدود،

ماتریس‌های جرم و سختی سازه‌ای با رابطه‌های (۲۷) و

(۲۸) محاسبه خواهند شد: [21]

$$M = G \left( \int_0^L b \rho A(x) b^T dx \right) G \quad (27)$$

$$K = G \left( \int_0^L b'' EI(x) b''^T dx \right) G \quad (28)$$

با توجه به ماتریس‌های جرم و سختی سازه، تحلیل سازه و تعیین دیگر عامل‌ها به سادگی امکان‌پذیر خواهد بود. بنابراین، مسئله اصلی تعیین جزءی بردار  $\mathbf{b}$  می‌باشد. در حالت ایستا برای تعیین جزءی بردار  $\mathbf{b}$  که در واقع تغییر مکان‌ها در اثر بار یا لنگر واحد هستند، می‌توان از روش‌های معمول مانند روش بار واحد که در حقیقت نتیجه حل معادله دیفرانسیل تیر در حالت ایستا است، بهره گرفت.

با کاربرد تئوری تیر اویلر- برنولی، زاویه چرخش، لنگرخمشی و نیروهای برشی را از رابطه‌های زیر می‌توان محاسبه کرد:

$$\theta(x) = \frac{dw}{dx} \quad (38)$$

$$M(x) = EI(x) \frac{d^2 w}{dx^2} \quad (39)$$

$$V(x) = \frac{d}{dx} \left( EI(x) \frac{d^2 w}{dx^2} \right) \quad (40)$$

با این رابطه‌ها، چهار جمله اول  $\bar{W}(k)$  و در نتیجه تغییر مکان تیر محاسبه می‌شود.

در ادامه برای دریافت بهتری از چگونگی کاربرد تابع‌های شکل مبنا در محاسبه ویژگی‌های سامانه، یک نمونه عددی برای محاسبه بسامد طبیعی و شکل مودهای ارتعاشی تیر با مقطع متغیر ارایه خواهد شد. در نمونه ۲ برای وارسی درستی صحت روش پیشنهادی، محاسبات مربوط به سد با مقطع ثابت با روش جدید انجام شده و نتیجه‌های حاصل با نتیجه‌های موجود در نوشه‌های فنی مقایسه شده‌اند. در نمونه ۳ نتیجه‌های تحلیل پویای سد و مخزن در حالت تیر با مقطع متغیر انجام شده است. EAGD نتیجه‌های حاصل با نتیجه‌های حاصل از برنامه که بر مبنای روش اجزای محدود است [6]، روش نیمه تحلیلی [۱۹] و روش تفاضل محدود [۲۲] مورد بررسی و مقایسه قرار گرفته‌اند. بررسی نتیجه‌ها بیانگر کارایی و درستی روش پیشنهادی می‌باشد.

$$\begin{aligned} & \sum_{i=0}^k \bar{EI}(k-i)(i+1)(i+2)(i+3)(i+4)\bar{W}(k+4) + \\ & 2\sum_{i=0}^k (k-i+1)\bar{EI}(k-i+1)(i+1)(i+2)(i+3)\bar{W}(i+3) + \\ & \sum_{i=0}^k (k-i+1)(k-i+2)\bar{EI}(k-i+2)(i+1)(i+2)\bar{W}(i+2) \\ & = L^4 \omega^2 \sum_{i=0}^k \rho A(k-i) \bar{W}(i) \end{aligned} \quad (33)$$

با از رابطه (۳۳) همه جمله‌های  $\bar{W}(k)$  به ازای  $k = 4, 5, \dots$  برحسب چهار جمله اول  $\bar{W}(0)$ ,  $\bar{W}(1)$ ,  $\bar{W}(2)$  و  $\bar{W}(3)$  محاسبه می‌شوند. بنابراین برای بدست آوردن تغییر مکان محاسبه چهار جمله اول کافی است. با وارد کردن شرایط مرزی مناسب می‌توان جمله‌های نامبرده را محاسبه کرد. با توجه به تعریف ارایه شده در جدول (۲) برای تابع‌ها شکل مبنا، شرایط مرزی مناسب برای هر تابع شکل را می‌توان به صورت زیر در نظر گرفت.

$$b_{v1} : V|_{\xi=0} = 1 \quad M|_{\xi=0} = 0 \quad w|_{\xi=1} = 0 \quad \theta|_{\xi=1} = 0 \quad (34)$$

$$b_{\theta1} : V|_{\xi=0} = 0 \quad M|_{\xi=0} = -1 \quad w|_{\xi=1} = 0 \quad \theta|_{\xi=1} = 0 \quad (35)$$

$$b_{v2} : w|_{\xi=0} = 0 \quad \theta|_{\xi=0} = 0 \quad V|_{\xi=1} = -1 \quad M|_{\xi=1} = 0 \quad (36)$$

$$b_{\theta2} : w|_{\xi=0} = 0 \quad \theta|_{\xi=0} = 0 \quad V|_{\xi=1} = 0 \quad M|_{\xi=1} = 1 \quad (37)$$

جدول ۲ تعریف تابع‌ها شکل مبنا با توجه به اصل تقابل کارتی- ماکسول

نشانه	تعریف	شكل
$b_{v1}$	تغییر مکان قائم در فاصله $X$ تحت تاثیر بار واحدی که در گره سمت چپ تیر طرہ وارد می‌شود.	
$b_{\theta1}$	زاویه چرخش در فاصله $X$ تحت تاثیر لنگر واحدی که در گره سمت چپ تیر طرہ وارد می‌شود.	
$b_{v2}$	تغییر مکان قائم در فاصله $X$ تحت تاثیر بار واحدی که در گره سمت راست تیر وارد می‌شود.	
$b_{\theta2}$	زاویه چرخش در فاصله $X$ تحت تاثیر لنگر واحدی که در گره سمت راست تیر وارد می‌شود.	

## نمونه ها

## نمونه ۱:

در این نمونه چگونگی محاسبه تابع های شکل مبنای برای یک تیر با مقطع متغیر با روش تبدیل دیفرانسیل شرح داده شده و ماتریس های سختی و جرم، محاسبه خواهد شد. نتیجه های حاصل با نتیجه های موجود در نوشه های فنی مقایسه و فرضیات زیر در نظر گرفته شده اند:

$$E = 71 \times 10^9 \text{ N/m}^2; \rho = 2700 \text{ kg/m}^3; L = 4 \text{ m};$$

$$A(\xi) = 1.2 \times 10^{-4} (1 - 0.5\xi)$$

سطح مقطع و لنگر لختی مقطع تیر به صورت زیر

تغییر می کند:

$$A(\xi) = 1.2 \times 10^{-4} (1 - 0.5\xi) \quad I(\xi) = 1 \times 10^{-7} (1 - 0.5\xi)^3$$

چهار جمله اول به این صورت تعریف می شود:

$$\bar{W}(0) = r \quad (41)$$

$$\bar{W}(1) = s \quad (42)$$

$$\bar{W}(2) = u \quad (43)$$

$$\bar{W}(3) = z \quad (44)$$

بافرض  $k = 0$  و جایگذاری رابطه های (۴۴-۴۱)

در معادله (۳۳) این رابطه به دست می آید:

$$\bar{W}(4) = 0.1947r - 0.125u + 0.75z \quad (45)$$

به همین ترتیب بافرض  $k = 1$  و جایگذاری

رابطه های (۴۴-۴۱) در معادله (۳۳) داریم، رابطه (۴۶)

حاصل خواهد شد:

$$\bar{W}(5) = 0.1558r + 0.0389s - 0.1u + 0.45z \quad (46)$$

به ازای  $k = 2$

$$\bar{W}(6) = 0.0974r + 0.0325s - 0.0495u + 0.25z \quad (47)$$

به همین روش می توان جمله های بعدی را نیز

محاسبه کرد. در این نمونه ۱۸ جمله در نظر گرفته

می شود. با کمک ویژگی های روش تبدیل دیفرانسیل تابع

با وارد کردن شرایط مرزی برای تعیین  $b_{v1}$  این

چهار معادله را می توان به دست آورد:

$$\begin{cases} 21300u + 42600z = 64 \\ u = 0 \\ 1.5707r + 1.1192s + 0.6746u + 2.7573z = 0 \\ 3.1463r + 1.7827s + 0.2923u + 12.2603z = 0 \end{cases} \quad (49)$$

با حل دستگاه معادله (۴۹)، مقدارهای  $r$   $s$   $u$  و  $z$  تعیین می شوند:

$$r = -0.0183 \quad s = 0.0220 \quad u = 0 \quad z = 0.0015 \quad (50)$$

در پایان  $b_{v1}$  به صورت زیر محاسبه خواهد شد:

$$\begin{aligned} b_{v1} = & -1.8345e-2 + 2.2044e-2\xi + 1.5023e-3\xi^3 \\ & -2.4450e-3\xi^4 - 1.3229e-3\xi^5 - 6.9495e-4\xi^6 \\ & -3.5108e-4\xi^7 - 1.8369e-4\xi^8 - 9.7058e-5\xi^9 \\ & -5.1259e-5\xi^{10} - 2.6953e-5\xi^{11} - 1.4101e-5\xi^{12} \\ & -7.3407e-6\xi^{13} - 3.8048e-6\xi^{14} - 1.9645e-6\xi^{15} \\ & -1.0109e-6\xi^{16} - 5.1871e-7\xi^{17} - 2.6548e-7\xi^{18} \end{aligned} \quad (51)$$

به همین ترتیب، دیگر تابع های شکل مبنای نیز محاسبه خواهد شد:

$$\begin{aligned} b_{01} = & 5.5115e-3 - 5.6679e-3\xi - 1.1268e-3\xi^2 \\ & -5.6338e-4\xi^3 + 7.9142e-4\xi^4 + 4.9693e-4\xi^5 \\ & +2.6758e-4\xi^6 + 1.3748e-4\xi^7 + 7.2328e-5\xi^8 \\ & +3.8326e-5\xi^9 + 2.0276e-5\xi^{10} + 1.0675e-5\xi^{11} \\ & +5.5893e-6\xi^{12} + 2.9117e-6\xi^{13} + 1.5099e-6\xi^{14} \\ & +7.7994e-7\xi^{15} + 4.0149e-7\xi^{16} + 2.0607e-7\xi^{17} \\ & +1.0549e-7\xi^{18} \end{aligned} \quad (52)$$

با توجه به رابطه (۵۹) و به کار بردن رابطه های (۲۸-۲۷) ماتریس های سختی و جرم محاسبه می شوند و با کمک رابطه (۶۰) بسامدها به دست می آیند. در پایان، شکل مودها محاسبه خواهد شد.

$$|K - \omega^2 \cdot M| \leq \epsilon \quad (60)$$

در جدول (۳) بسامد طبیعی با روش مورد بحث محاسبه و نتیجه های حاصل با نتیجه های موجود در مرجع [23] مقایسه شده اند.

جدول ۳ بسامد بدون بعد تیر با مقطعی که به صورت خطی تغییر می کند

	رسانیدن	روش حاضر	مرجع [23]
مود اول	3.82378	3.82379	
مود دوم	18.31726	18.3173	
مود سوم	47.26482	47.2648	
مود چهارم	90.45047	90.4505	
مود پنجم	148.00174	148.002	

## نمونه ۲:

در این نمونه پاسخ پویای سد با مقطع ثابت با تابع های شکل پیشنهادی محاسبه و نتیجه ها با حل تحلیلی Tsai & Lee مقایسه شده اند [18]. ضخامت سد ثابت و برابر  $25m^2$ ، ارتفاع سد  $180m$ ، جرم واحد طول آن  $3/6ton/m$  و  $EI = 9/8437ton.m^2$  فرض شده است.

در جدول (۴) بسامدهای طبیعی تیر با مقطع ثابت با کمک روش پیشنهادی محاسبه شده و نتیجه های حاصل با نتیجه های دقیق مرجع های [23] و [24] مورد بررسی و مقایسه قرار گرفته اند. در شکل (۲) پاسخ پویای سامانه سد و مخزن در برابر زلزله استریو که در مرجع [18] ارایه شده، آمده است و نتیجه های حاصل از تحلیل با استفاده از تابع های شکل و مقایسه آنها با حل تحلیلی در شکل های (۵-۹) مشاهده می شود.

$$\begin{aligned} b_{v2} = & 7.0670e-3\xi^2 + 8.4441e-4\xi^3 \\ & -2.5006e-4\xi^4 - 3.2671e-4\xi^5 - 1.3885e-4\xi^6 \\ & -5.5977e-5\xi^7 - 2.3641e-5\xi^8 - 1.0634e-5\xi^9 \\ & -4.9715e-6\xi^{10} - 2.3774e-6\xi^{11} - 1.1528e-6\xi^{12} \\ & -5.6415e-7\xi^{13} - 2.7778e-7\xi^{14} - 1.3737e-7\xi^{15} \\ & -6.8142e-8\xi^{16} - 3.3878e-8\xi^{17} - 1.6871e-8\xi^{18} \end{aligned} \quad (53)$$

$$\begin{aligned} b_{02} = & 2.0815e-3\xi^2 + 6.0764e-4\xi^3 \\ & + 1.9555e-4\xi^4 + 6.5292e-5\xi^5 + 4.8837e \\ & - 5\xi^6 + 3.3581e-5\xi^7 + 2.0771e-5\xi^8 + 1.2034e-5\xi^9 \\ & + 6.7217e-6\xi^{10} + 3.6690e-6\xi^{11} + 1.9710e-6\xi^{12} \\ & + 1.0466e-6\xi^{13} + 5.5076e-7\xi^{14} + 2.8781e-7\xi^{15} \\ & + 1.4955e-7\xi^{16} + 7.7353e-8\xi^{17} + 3.9857e-8\xi^{18} \end{aligned} \quad (54)$$

ماتریس های نرمی گرهی با رابطه های (۱۸) و (۱۹) تشکیل می شوند:

$$F_{11} = \begin{bmatrix} -0.0183 & 0.0055 \\ 0.0055 & -0.0014 \end{bmatrix} \quad (55)$$

$$F_{22} = \begin{bmatrix} 0.0071 & 0.0031 \\ 0.0031 & 0.0018 \end{bmatrix} \quad (56)$$

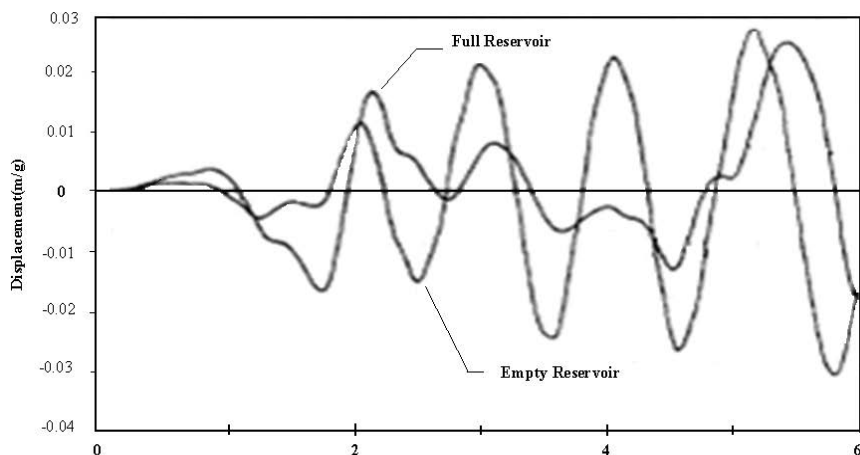
بنابراین ماتریس سختی گرهی برابر است با:

$$K_{11} = \begin{bmatrix} 302.4 & 1187.9 \\ 1187.9 & 3952.5 \end{bmatrix} \quad (57)$$

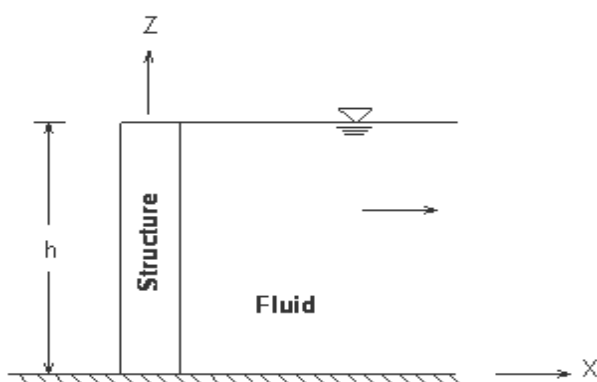
$$K_{22} = \begin{bmatrix} 567.8 & -977.9 \\ -977.9 & 2239.7 \end{bmatrix} \quad (58)$$

با استفاده از رابطه (۲۵) می توان نوشت:

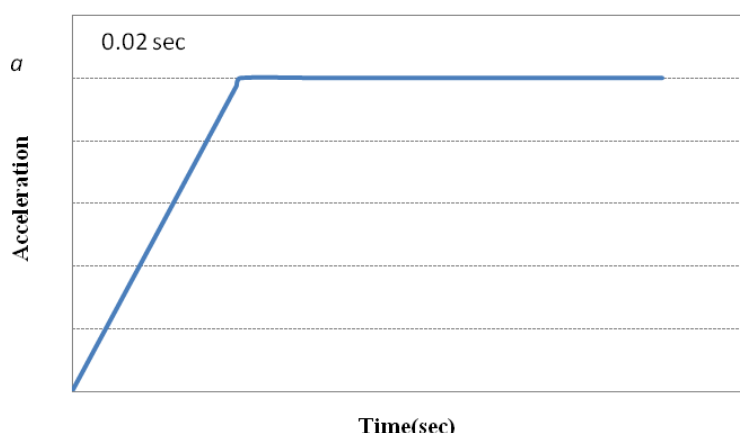
$$G = \begin{bmatrix} 302.4 & 1187.9 & 0 & 0 \\ 1187.9 & 3952.5 & 0 & 0 \\ 0 & 0 & 567.8 & -977.9 \\ 0 & 0 & -977.9 & 2239.7 \end{bmatrix} \quad (59)$$



شکل ۲ پاسخ پریای سیستم سد و مخزن در برابر زلزله استریو مطابق مرجع [18]

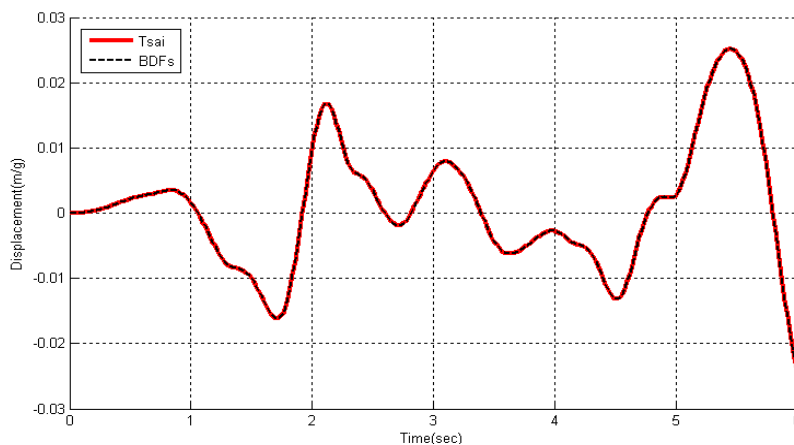


شکل ۳ سیستم مخزن و سد با مقطع ثابت

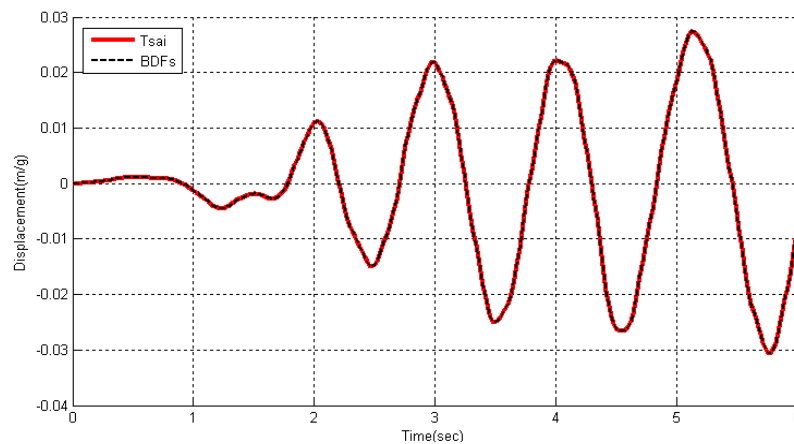


جدول ۴ بسامد بدون بعد تیر با مقطع ثابت

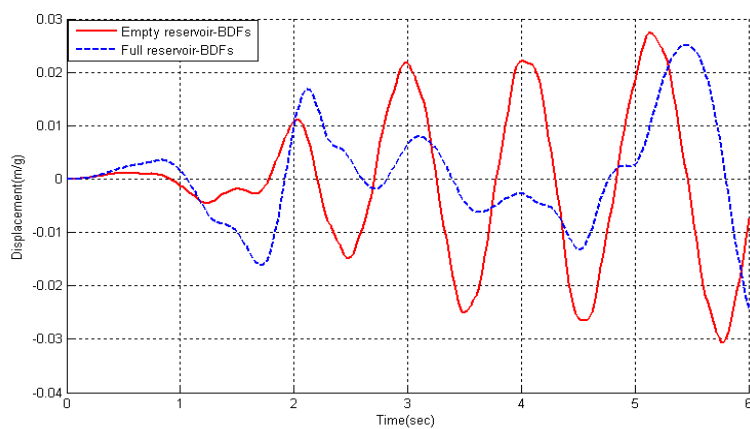
بسامد بی بعد	روش حاضر	مرجع [23]	مرجع [24]
مود اول	3.51601	3.51602	3.51602
مود دوم	22.03449	22.0345	22.0345
مود سوم	61.69721	61.6972	61.6972
مود چهارم	120.90191	120.902	120.902
مود پنجم	199.85944	199.86	199.86



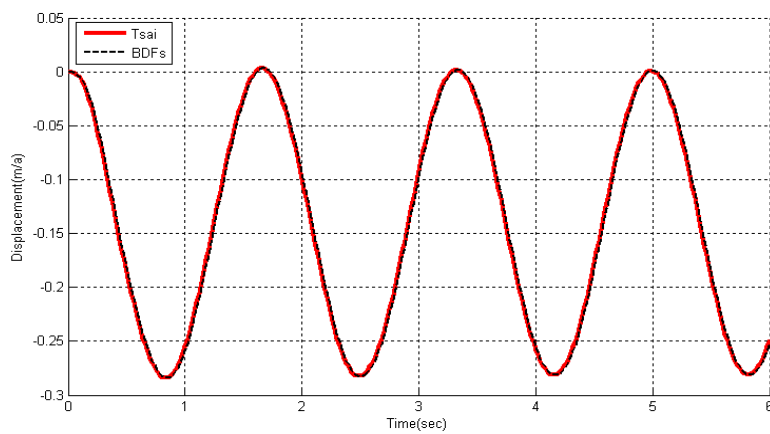
شکل ۵ مقایسه تغییر مکان تاج سد با مخزن پر تحت اثر زلزله ال ستترو



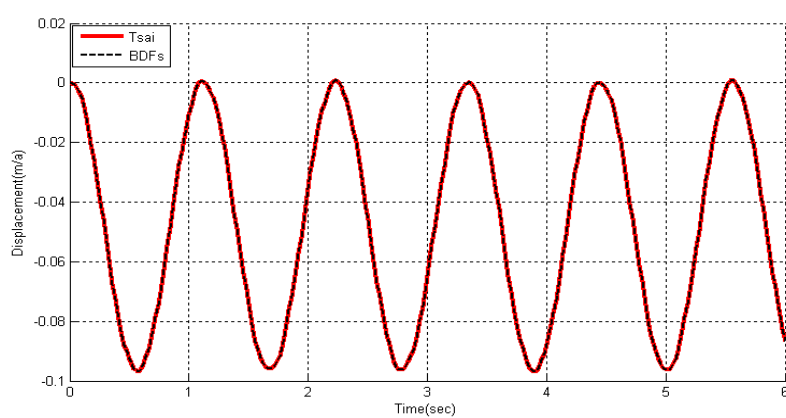
شکل ۶ مقایسه تغییر مکان تاج سد با مخزن خالی تحت اثر زلزله ال ستترو



شکل ۷ مقایسه تغییر مکان تاج سد با مخزن پر و خالی تحت اثر زلزله ال سنترو



شکل ۸ مقایسه تغییر مکان تاج سد با مخزن پر تحت اثر شتاب رمپ



شکل ۹ مقایسه تغییر مکان تاج سد با مخزن خالی تحت اثر شتاب رمپ

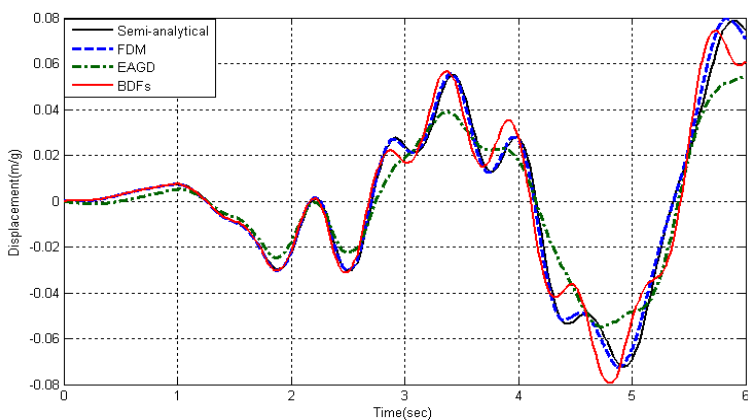
سامانه سد و مخزن بررسی شده است. دو حالت مخزن با مقطع ثابت و ضخامت  $25\text{m}$  در کف و مخزن با ضخامت متغیر (ضخامت  $25\text{m}$  در کف و  $12/5\text{m}$  در بالای سد) در نظر گرفته شده و پاسخ پویای سد و تغییرات فشار هیدرودینامیک در دو حالت با یکدیگر مورد مقایسه و بررسی قرار گرفته‌اند (شکل‌های (۱۶) و (۱۷)). همان‌طور که ملاحظه می‌شود، در نظر گرفتن تغییرات مقطع، تأثیر تعیین‌کننده‌ای در پاسخ سامانه دارد و الگوی کدن سد با مقطع ثابت درجهت اطمینان نیست و سفارش نمی‌شود.

### نمونه ۳:

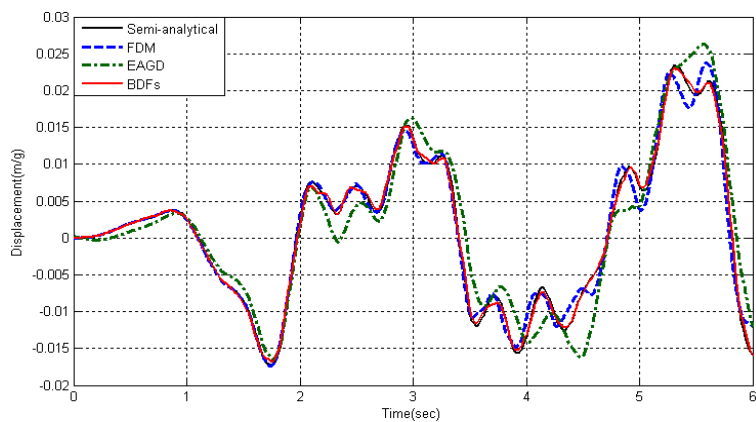
در این نمونه پاسخ پویای سد با مقطعی که به صورت خطی تغییر می‌کند (شکل ۱)، با تابع‌های شکل ارایه شده محاسبه و نتیجه‌ها با نتیجه‌های حاصل از برنامه EAGD [۶] و روش تفاضل محدود [۱۹] و روش نیمه تحلیلی [۲۲] مقایسه شده‌اند (شکل‌های ۱۰-۱۵). ضخامت سد در کف مخزن  $25\text{m}^2$  و در بالای سد  $12/5\text{m}^2$ ، ارتفاع سد  $180\text{m}$ ، چگالی آن  $2/4\text{ton}/\text{m}^3$  و ضریب کشسانی  $3/5\text{ton}/\text{m}^2$  فرض شده است.

### نمونه ۴:

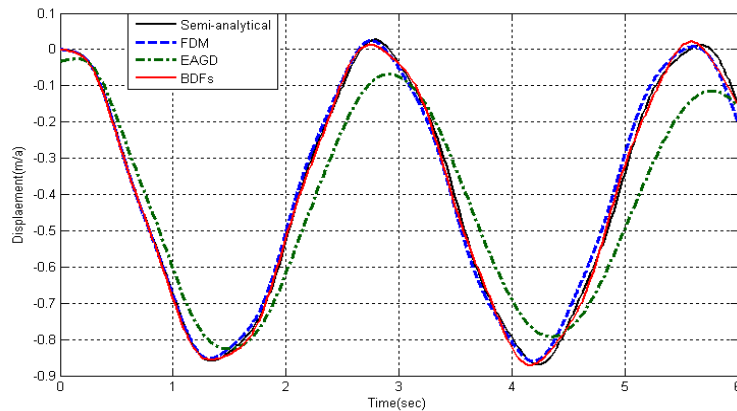
در این نمونه اثر در نظر گرفتن تغییرات مقطع در پاسخ



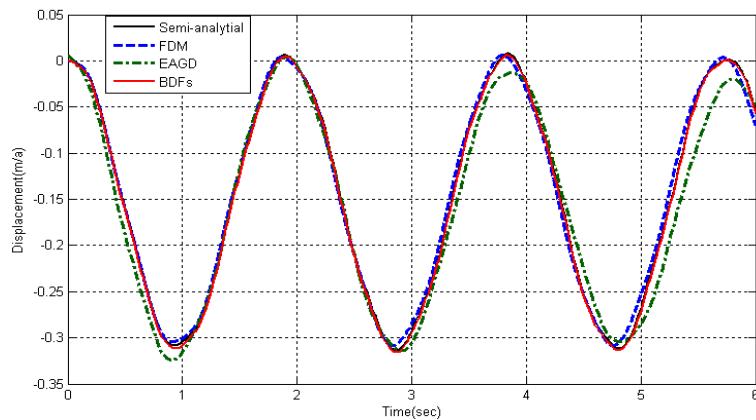
شکل ۱۰ مقایسه تغییر مکان تاج سد با مقطع متغیر در حالت مخزن پر تحت اثر زلزله ال ستترو



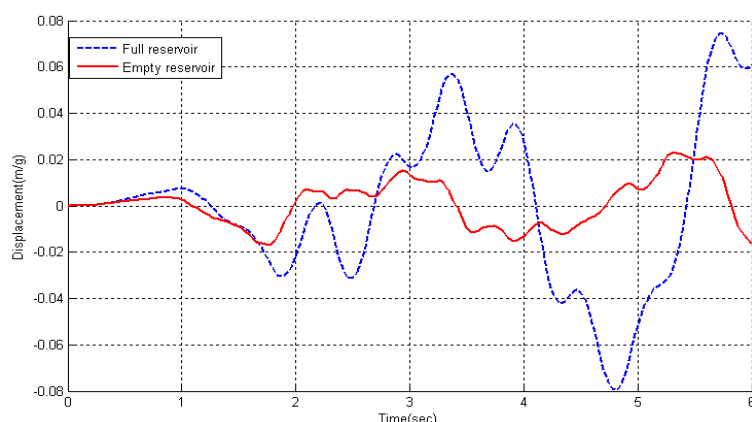
شکل ۱۱ مقایسه تغییر مکان تاج سد با مقطع متغیر در حالت مخزن خالی تحت اثر زلزله ال ستترو



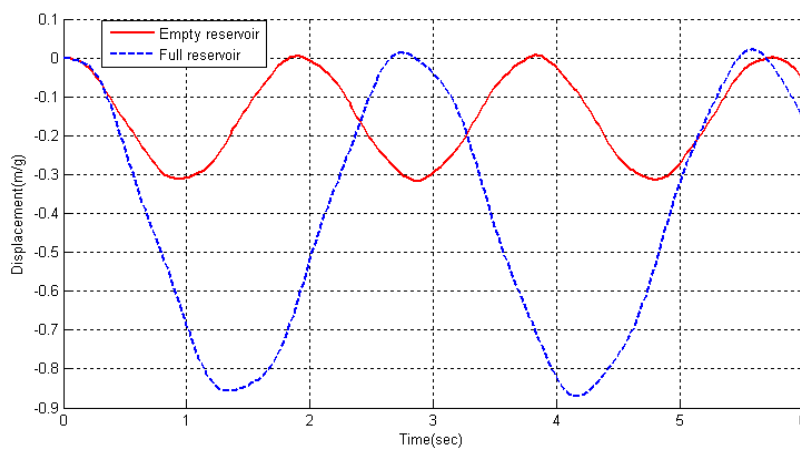
شکل ۱۲ مقایسه تغییر مکان تاج سد با مقطع متغیر در حالت مخزن پر تحت اثر شتاب رمپ



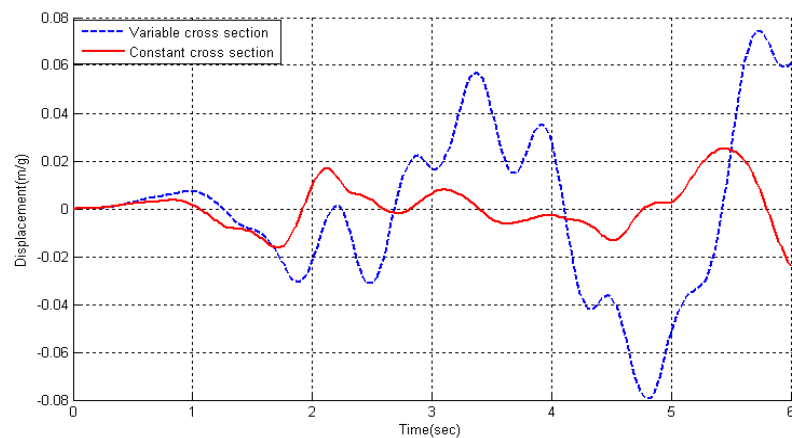
شکل ۱۳ مقایسه تغییر مکان تاج سد با مقطع متغیر در حالت مخزن خالی تحت اثر شتاب رمپ



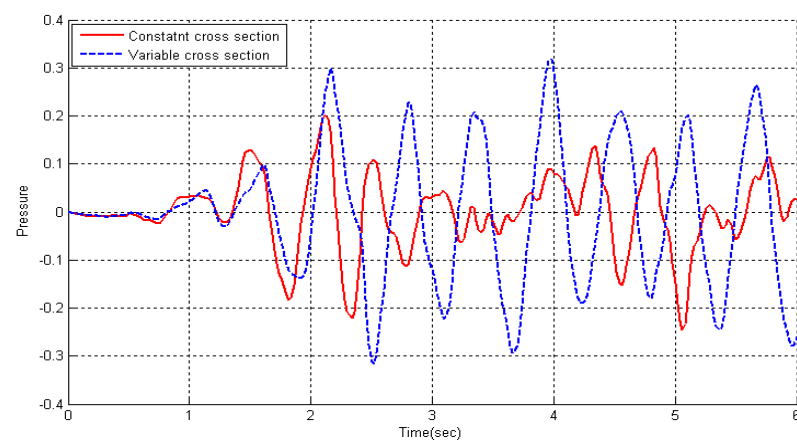
شکل ۱۴ مقایسه تغییر مکان تاج سد با مقطع متغیر در حالت مخزن پر و خالی تحت اثر زلزله الستترو



شکل ۱۵ مقایسه تغییر مکان تاج سد با مقطع متغیر در حالت مخزن پر و خالی تحت اثر شتاب رمپ



شکل ۱۶ مقایسه تغییر مکان تاج سد با مقطع ثابت و متغیر در حالت مخزن پر تحت اثر زلزله استرزو



شکل ۱۷ مقایسه تغییرات فشار هیدرودینامیک سد با مقطع ثابت و متغیر تحت اثر زلزله استرزو

تعداد جمله‌های کمتر جواب‌های دقیقی به دست آمد. برای اطمینان از درستی روش پیشنهادی، ابتدا تحلیل سد در حالت مخزن خالی بررسی شده و نتیجه‌های آن با نتیجه‌های موجود در نوشه‌های فنی مقایسه شد. مقایسه نتیجه‌ها، بیانگر کارآیی و درستی روش پیشنهادی می‌باشد.

در ادامه، اندرکنش سد و مخزن در قلمرو زمان و در اثر زلزله ال ستترو و شتاب رمپ مورد بررسی قرار گرفت. شایان توجه است که نتیجه‌های تحلیل اندرکنش سازه و مخزن، افزون بر اثر حضور مخزن به تغییر شکل‌های سامانه سازه وابسته می‌باشد و از اثر تغییر در مقطع سد نمی‌توان چشم پوشید. از این رو، روش دقیق تعیین تغییر شکل‌های سامانه سازه در حالت مقطع متغیر ارایه شده است که این امر امکان تحلیل اندرکنش سازه-سیال را با دقت بالا فراهم می‌سازد. در پایان، نتیجه‌ها با نتیجه‌های موجود در نوشه‌های فنی مقایسه شده‌اند که این مقایسه، دقت بالای محاسبات و کارایی روش پیشنهادی را نشان می‌دهد.

## نتیجه‌گیری

در این مقاله تحلیل دقیق پویای اندرکنش سد و مخزن در قلمرو زمان بررسی شد. سازه سد انعطاف‌پذیر و مخزن تا بی‌نهایت در نظر گرفته شد. الگوسازی سازه سد به صورت تیر اویلر- برنولی با مقطع متغیر و درنظر گرفتن بدنه سد در بالادست به صورت قائم انجام پذیرفت. روش نوینی برای تحلیل تیر با مقطع متغیر ارایه شد. این روش نوین بر مبنای کاربرد تابع‌های جدیدی است که تابع‌های شکل مبنا نام دارند. این تابع‌ها از حل معادله دیفرانسیل حرکت تیر اویلر- برنولی با مقطع متغیر به دست می‌آیند. با استفاده از این تابع‌ها ویژگی‌های پویا (بسامدها و مودهای ارتعاشی) تیرها با مقطع متغیر محاسبه می‌شوند. سپس با کمک بسامدها و شکل مودهای ارتعاشی محاسباتی مسئله اندرکنش سد و مخزن در قلمرو زمان مورد بررسی قرار گرفت. در فرآیند حل مسئله اندرکنش، اصلاحاتی صورت گرفت. در این اصلاحات دنباله توانی و بسط تابع‌های چند جمله‌ای برای تابع اولیه گیری تابع‌های بسل به کار رفت و با

## مراجع

1. Westergaard, H.M., "Wave pressures on dams during earthquakes." ASCE, 98, pp. 418-433, (1933).
2. Chopra, A. K., "Hydrodynamic pressures on dams during earthquakes." *J. of Engng. Mech., ASCE*, 93(6), pp. 205-223, (1967).
3. Chwang, A.T., "Hydrodynamic pressures on sloping dam during earthquakes. Part 2. Exact theory." *J. of Fluid Mech.,* 87, pp. 343-348, (1978).
4. Mei, C.C., Foda, M.A. and Tong, P., "Exact and hybrid- element solutions for the vibration of a thin elastic structure seated on the sea floor." *APPl. Ocean Res.,* 1(2), pp. 79-88,(1979).
5. Liu,P.L.F. "Hydrodynamic pressures on rigid dams during earthquakes." *J. Fluid Mech.,* 165, pp. 131-145, (1986).
6. Fenves and Chopra A. K., "A computer program for earthquake analysis of concrete gravity dams." Report UCB/EERC-84/11 university of California, Berkeley, EAGD-84: (1984).

7. Cheng, A.H. and Niu, T.P., "Earthquake Reliability Analysis of Dam-Reservoir-Foundation system using Boundary Element Method." ,*Proceeding of 4<sup>th</sup> U.S. National conf. on earthquake Engng.*, 3, pp. 85-94, (1990).
8. Estorff O. von, and Antes H, "On FEM-BEM coupling for Fluid-Structure Interaction Analysis in the time domain." *Int. J.of Numer. Meth. Engng.*, 31, pp.1151-1168, (1991).
9. Yerli, HR. and Kacin, S., "A Parallel Finite-Infinite Element Model for 2-Dimensional soil-structure interaction problems." *Soil Dyn. Earthquake Engng*, 23, pp. 249-253, (2003).
10. Kucukarslan, S., "Transient Dynamic Analysis of Dam-Reservoir Interaction by coupling DRBEM and FEM.", *Engng Comput.*, 21, pp. 692-707, (2004).
11. Soares Jr. D. and Mansur, W.J. , "Dynamic analysis of fluid–soil–structure interaction problems by the boundary element method", *J. of Comput. Physics*, 219 ,pp. 498–512,(2006).
12. Millan, M. A.,Young Y. L. and Prevost J. H. "The effects of reservoir geometry on the seismic response of gravity dams", *Earthquake Engng Struct. Dyn.* , 36, pp.1441–1459, (2007).
13. Gerstenberger,A. and Wall, Wolfgang A. " An extended Finite Element Method/Lagrange multiplier based approach for fluid–structure interaction", *Comput. Meth. Appl. Mech. Engng.*, 197 ,pp. 1699–1714, (2008).
14. Hung, T.K. and Wang, M.H., "Nonlinear Hydrodynamic pressure on Rigid Dam Motion" *J. Engng. Mech.*, 113, pp. 482-499, (1987).
15. Hung, T.K. and Chen, B.F., "Nonlinear Hydrodynamic Pressure on Dams", *J. Engng. Mech.(ASCE)* ,116, pp. 1372-1391,(1990).
16. Chen, B.F. "Nonlinear Hydrodynamic Pressure on Dam faces with Arbitrary Reservoir Shapes", *J. Hydraulic Research*, 32, pp. 404-413,(1994).
17. Tsai, C.S. and Lee, G.C. and Ketter, R.L.," A semi-analytical method for time-domain analysis of dam-reservoir interactions", *Int. J. for Numer. Meth. Engng.*, 29(5), pp. 913-933, (1990a).
18. Lee, G.C. and Tsai, C.S., "Time-domain analyses of dam-reservoir system Part I: Exact solution." *J. of Engng. Mech., ASCE*, 117(9), pp. 1990-2006,(1991).
۱۹. فرساد، علیرضا. و عطایریزاد، رضا " حل بسته اندرکش سد و مخزن در قلمرو زمان با در نظر گرفتن تغییرات ضخامت سد" ، نشریه دانشکده فنی، جلد ۳۹، شماره ۳: ۳۲۹-۳۴۰ (۱۳۸۴).
۲۰. کریمی، کیانوش و عطایریزاد، رضا " اندرکش سد و مخزن در دامنه زمان به وسیله روش تابع اولیه حلقوی منفرد مجزا (DSC)" (DSC)، نشریه دانشکده فنی، دوره ۴۲، شماره ۴: ۴۹۷-۵۰۸ (۱۳۸۷).
21. Attarnejad, R., "Basic Displacement Functions an Analysis of Non-Prismatic Beams.", *Engng. Comput.*, 27, pp. 733-745, (2010)

۲۲. عبداللهی، محمود " تحلیل پویای اندرکشی سد-مخزن - پی به روش نیمه تحلیلی". پایان نامه کارشناسی ارشد، دانشگاه تهران، دانشکده مهندسی عمران، (۱۳۸۹).

23. Banerjee, J.R., Su, H. and Jackson, D.R., " Free vibration of rotating tapered beams using the dynamic stiffness method.", *J. of Sound and Vibration*, 298, pp. 1034–1054,(2006).
24. Paz, M."Structural Dynamics: Theory and computations", 3<sup>rd</sup> Edition, Van Nostrand Reinhold, New York, (1991).
25. Attarnejad, R., "On the derivation of the geometric stiffness and consistent mass matrices for non-prismatic Euler-Bernoulli beam elements", In proceedings of European Congress On Computational Meth. in Appl. Sci. and Engng., Barcelona, (2000).
26. Attarnejad, R., "Free vibration of Non-Prismatic Beams.", In Proceedings of 15<sup>th</sup> ASCE Engng. Mech. Conf., New York, (2002).